

ค่าความแข็งพิวแบบบูปของวัสดุครอบฟันและสะพานฟันชั่วคราว ชนิดบ่มเองร่วมกับบ่มด้วยแสงภายใต้ความหนาของซีลิโคนชนิด ใสที่ระดับต่างๆ

ธีรัชย์ สิมป์ลาวันย์* มะธี พลาบุเวช*

บทคัดย่อ

งานวิจัยนี้มีวัตถุประสงค์เพื่อศึกษาค่าความแข็งพิวแบบบูปของวัสดุครอบฟันและสะพานฟันชั่วคราวชนิดบ่มเองร่วมกับบ่มด้วยแสงภายใต้ความหนาของซีลิโคนชนิดใส่ที่ระดับต่างๆ โดยศึกษาในวัสดุครอบฟันและสะพานฟันชั่วคราวชนิดบ่มเองร่วมกับบ่มด้วยแสงคือ เทมสเปน และ ลักชาเทมโซล่า ซึ่งวัสดุแต่ละชนิดจะแบ่งกลุ่มทดลองออกเป็น 4 กลุ่ม ในกลุ่มเทมสเปนกำหนดให้ S0 เป็นกลุ่มที่ไม่ใช้ซีลิโคนชนิดใส่ กลุ่ม S2 S4 และ S6 เป็นกลุ่มที่ใช้ซีลิโคนชนิดใส่ที่มีความหนา 2.0 4.0 และ 6.0 มิลลิเมตร ตามลำดับ ในแต่ละกลุ่มทดลองแบ่งได้อีก 4 กลุ่มทดลองย่อยโดยขึ้นกับจุดที่ทำการวัดความแข็งพิวแบบบูป โดยจุดที่ทำการวัดความแข็งพิวแบบบูปจะเริ่มจากล่วนบนสุดของวัสดุทดสอบ 0.25 มิลลิเมตร (กลุ่ม D0) 2.0 มิลลิเมตร (กลุ่ม D2) 4.0 มิลลิเมตร (กลุ่ม D4) และ 6.0 มิลลิเมตร (กลุ่ม D6) ในกลุ่มลักชาเทมโซล่า วิธีการเตรียมและกำหนดจุดทดสอบขึ้นงานจะเหมือนกับกลุ่มเทมสเปน โดยแต่ละกลุ่มย่อยจะทำการทดสอบความแข็งพิวแบบบูปจำนวน 12 ตัวอย่าง ค่าเฉลี่ยความแข็งพิวแบบบูปและร้อยละของค่าเฉลี่ยความแข็งพิวแบบบูปของวัสดุครอบฟันและสะพานฟันชั่วคราวชนิดบ่มเองร่วมกับบ่มด้วยแสงจะถูกบันทึกและวิเคราะห์ทางสถิติตัวอย่างการวิเคราะห์ความแปรปรวนแบบ 2 ทาง และเปรียบเทียบเชิงช้อนด้วยวิธีทูเกียร์ ผลการทดลองพบว่าค่าเฉลี่ยความแข็งพิวแบบบูปและร้อยละของค่าเฉลี่ยความแข็งพิวแบบบูปทุกกลุ่มย่อยมีความแตกต่างกันอย่างมีนัยสำคัญทางสถิติ ($p<.05$) และไม่มีกลุ่มตัวอย่างใดที่มีร้อยละของค่าเฉลี่ยความแข็งพิวแบบบูปเกินร้อยละ 80 เมื่อเปรียบเทียบกับค่าเฉลี่ยความแข็งพิวแบบบูปที่ระดับ D0 ทำให้สรุปผลการทดลองได้ว่า เมื่อใช้แสงจากเครื่องฉายแสงชนิดอาโลเจนเพียงอย่างเดียวในการบ่มวัสดุครอบฟันและสะพานฟันชั่วคราวชนิดบ่มเองร่วมกับบ่มด้วยแสงพบว่า ความหนาของของซีลิโคนชนิดใส่มีผลต่อค่าความแข็งพิวแบบบูปของวัสดุครอบฟันและสะพานฟันชั่วคราวชนิดบ่มเองร่วมกับบ่มด้วยแสง ดังนั้นการใช้โครงแบบซีลิโคนชนิดใส่ผลลัพธ์วัสดุครอบฟันและสะพานฟันชั่วคราวจำเป็นต้องมีการฉายแสงเพิ่มเติมเพื่อให้วัสดุมีความแข็งแรงมากขึ้นก่อนให้ผู้ป่วยใช้งานจริง

คำสำคัญ : ซีลิโคนชนิดใส่ ความแข็งพิวแบบบูป วัสดุครอบฟันและสะพานฟันชั่วคราว การบ่มเองร่วมกับบ่มด้วยแสง

*อาจารย์ ภาควิชาทันตกรรมอนุรักษ์และทันตกรรมประดิษฐ์ คณะทันตแพทยศาสตร์ มหาวิทยาลัยศรีนครินทรวิโรฒ สุขุมวิท 23 เขตวัฒนา กรุงเทพฯ 10110

Knoop Hardness of Dual-Polymerized Provisional Restorations under Various Thicknesses of Clear Silicone

Teerachai Limlawan* Mali Palanuwech*

Abstract

The objective of this study was to determine Knoop hardness of dual-polymerized provisional restorations under various thicknesses of clear silicone. There were 2 provisional restorations (TempSpan and Luxatemp Solar). Each provisional restoration had 4 groups of testing specimen. In TempSpan, Group S0 not using silicone barrier was a control group. Group S2, S4, and S6, using 2.0, 4.0, and 6.0 mm silicone barrier respectively, were tested groups. Four subgroups in each group depending on measurement points were determined. Measurement points were located at 0.25 (D0), 2.0 (D2), 4.0 (D4), and 6.0 (D6) mm in depth from the top of provisional restoration specimen. In Luxatemp Solar, grouping and material preparation were the same as TempSpan. Twelve specimens were made for each subgroup. Knoop hardness number and percentage of bottom-top Knoop hardness number of the provisional restoration were measured and analyzed using a 2-way analysis of variance, and Tukey test ($p<.05$). There were statistically significant differences ($p<.05$) among mean Knoop hardness number and percentage of bottom-top Knoop hardness number in all groups. Additionally, in the aspect of the percentage of bottom-top Knoop hardness number, no subgroup is no more than 80% when comparing with KHN at D0. In conclusion, using light from light-curing unit for polymerizing dual-polymerized provisional restoration, the thickness of clear silicone had an effect on Knoop hardness. In addition, application of clear silicone as a matrix for fabricating provisional restorations clinically need to have more exposure time of light from light-curing unit for increasing the hardness when the patient clinically used.

Key words : Clear silicone, Knoop hardness, Provisional crown and bridge, Dual-polymerization

*Lecturer, Department of Conservative Dentistry and Prosthodontics, Faculty of Dentistry, Srinakharinwirot University, Sukhumvit 23, Wattana, Bangkok 10110

บทนำ

ปัจจุบันวัสดุครอบพันและสะพานฟันชั่วคราว เป็นที่นิยมแพร่หลายเนื่องจากมีความสวยงามและมีความแข็งแรง ทนทานต่อการลึกกร่อนต่อสภาวะในช่องปากได้ดี โดยวัสดุครอบพันและสะพานฟันชั่วคราว ในปัจจุบันมีหลายประเภท สามารถแบ่งออกได้เป็น 2 ประเภทใหญ่ๆ ได้แก่ กลุ่มเรซินชนิด เมทาไครเลต และ เรซินคอมโพลิเมต

เรซินชนิดเมทาไครเลตที่นิยมใช้เป็นวัสดุครอบพันและสะพานฟันชั่วคราวคือ พอลิเมทิลเมทาไครเลต ชนิดบ่มเมงหรือพีเอ็มเอ็มเอ (PMMA) ซึ่งถูกพัฒนาและเริ่มนำมาใช้อย่างแพร่หลายในช่วงปี 1940 [1] ปัจจุบันยังคงใช้เป็นวัสดุครอบพันและสะพานฟันชั่วคราวที่นิยมมากที่สุด [2] แต่เนื่องจากพีเอ็มเอ็มเอ มีการคายความร้อนขณะบ่มตัว จึงอาจก่อให้เกิดอันตรายต่อเนื้อเยื่อ โพรงประสาทฟันจากการทำครอบพันและสะพานฟันชั่วคราวโดยตรงภายในช่องปาก รวมถึงมีการตกค้างของอนอนเมอร์ซึ่งอาจก่อให้เกิดอันตรายต่อตัวฟันหลักจากการทำครอบพันและสะพานฟันชั่วคราวโดยตรง [3]

เรซินคอมโพลิเมตคือวัสดุผสมที่มีองค์ประกอบดังต่อไปนี้ ล่องชนิดขึ้นไปโดยวัสดุแต่ละชนิดต้องไม่ละลายซึ่งกันและกัน มีวัสดุชนิดหนึ่งเป็นองค์ประกอบหลัก และวัสดุอีกหนึ่งชนิดหรือหลายชนิดกระเจียดแทรกอยู่ในองค์ประกอบหลัก วัสดุครอบพันและสะพานฟันชั่วคราวในกลุ่มนี้ส่วนมากจะเป็น เรซินชนิด บิส-เอคริล (Bis-acryl) เมื่อผสมกับสารอนินทรีและสารทึบแสงสี จะได้วัสดุที่คล้ายคลึงกับวัสดุเรซินคอมโพลิเมต ที่ใช้ในงานบูรณะฟัน วัสดุดังกล่าวจะมีมัลติฟังก์ชั่น อะคริลิก เรซินโนโนเมอร์ ซึ่งจะเกิดการเชื่อมไขว้ในกระบวนการการเกิดพอลิเมร์ [4] วัสดุในกลุ่มนี้มีสมบัติโดยรวมเหนือกว่ากลุ่มเรซินเมทาไครเลต เช่น มีการคายความร้อนขณะบ่มตัวในระดับต่ำ [4,7] มีความระคายเคืองต่อโพรงประสาทฟันน้อย มีอนอนเมอร์ส่วนเกินตกค้างน้อย และมีสมบัติทางกลโดยรวมที่เหนือกว่าเรซินเมทาไครเลต [5] เมื่อเกิดพอลิเมอร์มีการหดตัวต่ำ [7] การแบบสนิท

ของขอบที่ดีกว่าเรซินเมทาไครเลต [4] มีความด้านทานต่อการลึกสูง [8] วัสดุชนิดนี้จำแนกย่อยตามลักษณะการบ่มตัวโดยแบ่งเป็น 3 ลักษณะได้แก่ การบ่มเมง (autopolymerization) การบ่มเมงร่วมกับบ่มด้วยแสง (dual polymerization) และบ่มด้วยแสง (light polymerization) โดยกลุ่มที่มีการบ่มเมงร่วมกับบ่มด้วยแสง และกลุ่มที่มีการบ่มด้วยแสงนั้นวัสดุจะมีความแข็งแรงทันทีหลังจากการฉายแสงเสร็จลืน ผู้ป่วยจึงสามารถใช้งานได้หลังจากการรักษาโดยไม่จำเป็นต้องรอให้เกิดพอลิเมอร์อย่างสมบูรณ์ซึ่งวัสดุกลุ่มนี้บ่มเมงมักจะใช้เวลาหลายชั่วโมง [6]

วัสดุกลุ่มเรซินคอมโพลิเมตสำหรับครอบพันและสะพานชั่วคราว ส่วนใหญ่ผลิตขึ้นในรูปแบบผลิตอัตโนมัติ (automix) มีลักษณะเป็นหลอดคู่สามารถฉีดและผลลัพธ์ของเบสและสารเร่งปฏิกิริยาซึ่งช่วยให้ใช้งานง่ายและลดโอกาสเกิดฟองอากาศ แต่มีค่าใช้จ่ายสูง วัสดุในกลุ่มนี้มีการใช้งานง่ายและเหมาะสมสำหรับกรณีที่ต้องใช้ในงานครอบพันและสะพานฟันชั่วคราวเป็นเวลาระยะหนึ่งเดือนเพื่อประเมินผลทางคลินิก [6] ตัวอย่างของวัสดุเรซินคอมโพลิเมตกลุ่มนี้ได้แก่ เทมสแปน (TempSpan[®]) และลักษณะเหมือนโซล่า (Luxatemp Solar[®]) เทมสแปนเป็นวัสดุครอบพันและสะพานฟันชั่วคราวชนิดเรซินคอมโพลิเมตประเภทบิส จีเอ็มเอ (Bis-GMA) บรรจุในหลอดคู่โดยแยกส่วนเบสและตัวเร่งปฏิกิริยาไว้ลักษณะเหลวข้น การผสมต้องใช้ร่วมกับเครื่องผสมอัตโนมัติเพื่อควบคุมปริมาณวัสดุและลดการเกิดฟองอากาศ เมื่อผสมแล้ววัสดุชนิดนี้สามารถบ่มเมงร่วมกับบ่มด้วยแสง สามารถใช้ทำครอบพันและสะพานฟันชั่วคราวได้ทั้งแบบตรง แบบอ้อม และร่วมกันทั้งสองวิธี ภายหลังการบ่มตัววัสดุจะมีลักษณะแข็ง สามารถขัดเงาและเลวิมหรือซ้อมได้ด้วยวัสดุเรซินคอมโพลิเมตชนิดไอล แฟตได้ มองอนเมอร์ที่เป็นส่วนประกอบได้แก่ ยูดีเอ็มเอ (UDMA) บิส-จีเอ็มเอ (Bis-GMA) และเมทาไครเลตฟอสเฟต (Methacrylate Phosphate) ส่วนที่เป็นตัว

กระดูกนปภิกิริยา ได้แก่ เบนโซอิล Peroxide และ เอเมินตติบัมิ (tertiary amines) และ สารเติม (filler) ได้แก่ แก้วเบเยียมเคลือบสารไซเลน (silane treated barium glass) และซิลิกา (silica) [9] ลักษณะของโลหะ เป็นวัสดุสำหรับทำครอบฟันและ สะพานฟันชั่วคราวเรซิโนนิดบิส-เอคิวิล บรรจุในหลอดคู่ โดยแยกส่วนเบสและตัวเร่งปฏิกิริยา เมื่อผสมสามารถ บ่มเชิงร่วมกับบ่มด้วยแสง มีลักษณะเหลว ข้น มีหลายสี ให้เลือกใช้ ภายหลังจากการเกิดโพลิเมอร์วัสดุจะมีลักษณะ แข็ง ส่วนประกอบได้แก่ ผงแก้ว ซิลิกา ฟูริเทนไดเมทา ไครเลต (Urethane Dimethacrylate) อะโรมาติกไดเมทา ไครเลต (Aromatic Dimethacrylate) และไกโกลคอลได เมทาไครเลต (Glycol Methacrylate) [10-11]

ในการผลิตครอบฟันและสะพานฟันชั่วคราว ด้วยวัสดุเรซิโนนคอมโพลิตชนิดบ่มเชิงร่วมกับบ่มด้วยแสง จำเป็นต้องมีโครงแบบที่มีลักษณะใสเพื่อให้วัสดุสามารถ เกิดการโพลิเมอร์ด้วยการฉายแสง วัสดุที่นิยมนำมาใช้ เป็นโครงแบบได้แก่ โครงแบบพลาสติกซึ่งผลิตโดยการ ใช้ความร้อนร่วมกับเครื่องดูดสูญญากาศ [12] และซิลิโคน ชนิดใสประทุมอัดโนมัติ [13] แม้ว่าการใช้โครงแบบ พลาสติกซึ่งผลิตโดยการใช้ความร้อนร่วมกับเครื่องดูด สูญญากาศจะเป็นที่นิยม เพราะถ่าย แต่ก็มีข้อจำกัดคือ ต้องมีเครื่องมือที่จำเปาะเช่น เครื่องดูดสูญญากาศและ ต้องทำแบบหล่อปูนเพิ่มอีกหนึ่งชั้นเพื่อใช้กับเครื่องดูด สูญญากาศ ทำให้มีการใช้เวลาและแรงงานมาก กว่าการใช้ซิลิโคนชนิดใส เป็นโครงแบบ [13] ตัวอย่าง ของซิลิโคนชนิดใส ได้แก่ มีโมชิวัท (Memosil2®) เป็น วัสดุโพลิเมอร์ประเภท พอลิไวนิลไชลอเซน บรรจุใน หลอดคู่โดยแยกส่วนเบสและตัวเร่งปฏิกิริยา เมื่อผสม วัสดุจะบ่มเอง ภายหลังการเกิดโพลิเมอร์วัสดุจะมี ลักษณะใสล้ำใส อ่อนมีความยืดหยุ่นคล้ายยาง สามารถ นำมาใช้บันทึกรอยัด ใช้เป็นโครงแบบเพื่อช่วยในการ ยึดแบบริกเกตในงานทันตกรรมจัดฟัน และเป็นอุปกรณ์ ช่วยในการยึดลูกกลมโลหะเพื่อใช้ในการถ่ายภาพรังสี

ในผู้ป่วยที่ต้องวางแผนการรักษาเพื่อทำการฟันเทียม มีรายงานของการใช้ซิลิโคนชนิดใสชนิดนี้สำหรับเป็น โครงแบบในการยึดลวดโลหะร่วมกับเรซิโนนคอมโพลิต ชนิดเหลวแล้ว [13] และมีการนำเสนอวิธีการผลิตครอบ ฟันและสะพานฟันชั่วคราวประเทตเรซิโนนคอมโพลิต ชนิดบ่ม เชิงร่วมกับบ่มด้วยแสงร่วมกับการใช้ซิลิโคน ชนิดใส [14] แต่ยังไม่มีรายงานได้ศึกษาถึงความหนา ที่เหมาะสมของซิลิโคนชนิดใสต่อคุณสมบัติทางกลของ วัสดุครอบฟันและสะพานฟันชั่วคราว กระบวนการเกิด พолิเมอร์ด้วยการฉายแสงมีหลายปัจจัยที่มีผลต่อ คุณสมบัติของวัสดุเรซิโนนคอมโพลิต เช่น ความเข้มแสง จากเครื่องฉายแสง ระยะเวลาการฉายแสง และระยะห่าง ระหว่างปลายไฟแก้วนำแสงและวัสดุทดสอบ เป็นต้น [15-18] ในการนำวัสดุเรซิโนนคอมโพลิตชนิดบ่มเชิงร่วมกับ บ่มด้วยแสง หรือเรซิโนนคอมโพลิตชนิดบ่มด้วยแสงเพียง อย่างเดียวมาใช้งานนั้นจำเป็นที่จะต้องมีโครงแบบที่ทำ มาจากวัสดุที่มีลักษณะใสเพื่อให้แสงจากเครื่องฉายแสง สามารถผ่านไปสู่วัสดุเพื่อให้เกิดโพลิเมอร์อย่างเพียงพอ ในการเลือกใช้วัสดุครอบฟันและสะพานฟันชั่วคราว ของทันตแพทย์ ความแข็งแรงของวัสดุเป็นหนึ่งในปัจจัย หลักที่มีความสำคัญในการเลือกใช้โดยเฉพาะอย่างยิ่ง การรักษาทางทันตกรรมที่ใช้เวลาอย่างนานและมีความ ซับซ้อนของการรักษา วัสดุครอบฟันและสะพานฟัน ชั่วคราวจะจำเป็นจะต้องมีความแข็งแรงเพียงพอที่จะทน ต่อแรงกดเคี้ยวตลอดระยะเวลาการรักษาทางทันตกรรม [19] และมีแรงดันคงที่กับความแข็งแรงเพียงพอที่จะทน [5, 8, 20-21] ในกรณีของวัสดุครอบฟันและสะพานฟันชั่วคราว ชนิดบ่มด้วยแสง กระบวนการบ่มด้วยแสงจะเริ่มขึ้นเมื่อวัสดุ ครอบฟันและสะพานฟันชั่วคราวได้รับแสงจากเครื่อง ฉายแสงในช่วงความยาวคลื่น 400-500 นาโนเมตร ซึ่งกระตุ้นให้สารตั้งต้นปฏิกิริยาชนิดแคมฟอร์คิวโนน และสารเอมีนไดเมทาไครเลตแตกตัวเป็นอนุมูลอิสระ ทำให้คาร์บอนพันธุ์คู่ที่ปลายหั้งสองของไดเมทาไครเลต แตกตัวและต่อ กันเป็นสายโนเลกุลarityของโพลิเมอร์

ในลักษณะโครงการข่ายสารมิตร และเกิดการเชื่อมโยงระหว่าง
สายโน้มเล็กๆ ทำให้วัสดุเกิดการบ่มตัว [18,22] ในกรณี
ของปฏิกริยาบ่มเมือง อนุญาติสร้างที่เกิดจากสารประเทท
เปอร์ออกไซด์แตกตัวเมื่อถูกกระตุ้นด้วยสารกระตุ้น
ปฏิกริยาซึ่งมีสารประกอบประเททเอมีนติดภูมิ [18]
โดยร้อยละของการเปลี่ยนแปลงจากคราบอนพันธุ์คู
เป็นพันธุ์เดียวของวัสดุครอบพันและสะพานพัน
ชั่วคราว (degree of conversion) จะเป็นค่าที่จะปั่งบอก
ถึงสมบัติทางกล เช่น ความแข็งผิว ความทนแรงอัด
และความทนแรงตัด [16,23-24]

การวัดร้อยละของเปลี่ยนแปลงจากควร์บัน พันธุ์คู่เป็นพันธุ์เดี่ยวของวัสดุเรซิโน่คอมโพลิสต์สำหรับครอบฟันและสะพานฟันชั่วคราวสามารถวัดได้ทั้งทางตรังและทางอ้อม [25] การวัดทางตรังที่ได้รับความนิยมและมีความแม่นยำสูงคือ เทคนิคสเปกโตรล็อกปีซึ่งเป็นการวัดชนิดของสารจากการดูดกลืนและการคายรังสีของสารที่ทดสอบ รามานสเปกโตรล็อกปี (Raman Spectroscopy) เป็นเทคนิคที่อาศัยหลักการชนแบบไม่ยืดหยุ่นระหว่างโฟตอนกับโมเลกุลของสาร หลังจากนั้นพลังงานบางส่วนจะถูกถ่ายเทไปยังโมเลกุลทำให้เกิดการสั่นของโมเลกุลแล้วเกิดการสะเจิงออกไป เทคนิคนี้อาจจะพบปัญหาในการทดสอบกับเรซิโน่คอมโพลิสต์ที่มีสารประเทฟลูออรีสเซนซ์เป็นส่วนประกอบ [24]

อิเลคทรอนิกส์นิยมใช้ในการตรวจคือ อินฟารे�ดสเปกตรโสโคป (Infrared Spectroscopy) อาศัยหลักการดูดกลืนรังสีอินฟารे�ดที่ทำให้เกิดการสั่นของพันธุ์เคมีภายในโมเลกุล ซึ่งค่าความถี่ของการสั่นในสเปกตรัมนั้นสามารถใช้ข้อมูลเกี่ยวกับโมเลกุลของสารที่แน่นอนได้ วิธีการนี้จะสามารถวัดพาพันธุ์เดียวของเรซินได้โดยตรงและมีความแม่นยำ ส่วนสเปกต์โสโคปแบบช่วงใกล้อินฟารे�ด (Near Infrared Spectroscopy) ใช้หลักการเหมือนกับอินฟารे�ดสเปกต์โสโคป แต่อาศัยหลักการดูดกลืนรังสีในช่วง $12,500-4000 \text{ cm}^{-1}$ [26] ปัจจุบันอินฟารे�ดสเปกต์โสโคปได้พัฒนามากขึ้น

สามารถตรวจวัดได้เร็วแม่นยำและตรวจวิเคราะห์ได้ในช่วงที่กว้างกว่าเรียกเทคนิคนี้ว่า เอฟทีไออาร์ (FTIR, Fourier Transform Infrared Spectroscopy) [27-28] ทุกเทคนิคที่กล่าวมาในข้างต้นต่างมีข้อด้อยที่คล้ายคลึงกันคือใช้เวลาในการทดสอบนานและต้องใช้เครื่องมือที่มีราคาสูง

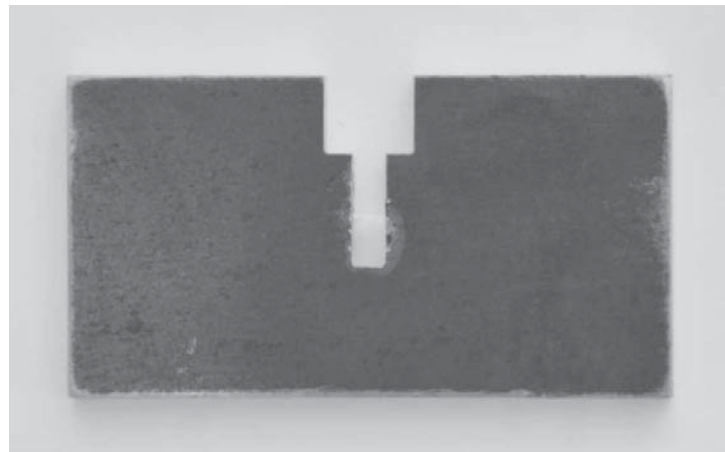
การวัดร้อยละของการเปลี่ยนแปลงจากคาร์บอนพันธุ์คู่เป็นพันธุ์เดียวของวัสดุเรซินคอมโพลิต สำหรับครอบฟันและสะพานฟันชั่วคราวสามารถวัดได้ทางอ้อมโดยประเมินจากความแข็งผิวของวัสดุ [6, 8, 15-16, 23, 29-33] ซึ่งวิธีดังกล่าวสามารถทำได้ง่าย รวดเร็วและค่าใช้จ่ายต่ำกว่าการวัดโดยตรงด้วยเทคนิคเอฟทีไออาร์ ดังนั้นเทคนิคนี้จึงเป็นที่นิยมในการใช้ทดสอบวัสดุเรซินคอมโพลิตสำหรับครอบฟันและสะพานฟันชั่วคราว Ferracane ในปี 1985 รายงานผลการวิจัยของความล้มพันธุ์ของความแข็งผิวแบบนูปกับร้อยละของการเปลี่ยนแปลงจากคาร์บอนพันธุ์คู่เป็นพันธุ์เดียวของวัสดุประเภทเรซินคอมโพลิตโดยพบว่าค่าความแข็งผิวที่สูงขึ้นสัมพันธ์กับร้อยละของการเปลี่ยนแปลงจากคาร์บอนพันธุ์คู่เป็นพันธุ์เดียวที่สูงขึ้น แต่ทั้งนี้ไม่สามารถนำมาเปรียบเทียบระหว่างวัสดุเรซินคอมโพลิตที่ต่างชนิดกัน [23] Diaz-Arnold และคณะในปี 1999 รายงานผลการทดสอบความแข็งผิวแบบนูปของวัสดุครอบฟันและสะพานฟันชั่วคราวประเภทเรซินคอมโพลิตชนิดบิส-เอคริลิเบรียบเทียบกับวัสดุกลุ่มฟีอีเมลเอ็มเอโดยเก็บในน้ำลายเทียมที่อุณหภูมิ 37 องศาเซลเซียล เป็นเวลา 14 วัน พบร่วมค่าความแข็งผิวของวัสดุทดสอบทุกชนิดมีค่าลดลงตามระยะเวลาที่เพิ่มขึ้นและพบว่าค่าความแข็งผิวของวัสดุเรซินคอมโพลิตชนิดบิส-เอคริลิมีค่าสูงกว่าฟีอีเมลเอ็มเอ ($p<0.05$) นอกจากนี้การทดสอบความแข็งผิวแบบนูปสามารถใช้เป็นตัวชี้วัดในการประเมินร้อยละของการเกิดพอลิเมอร์และความคงทนต่อการลึก [8] ปัจจุบันการวัดความแข็งผิวของวัสดุในงานทันตกรรมนิยมใช้การทดสอบความแข็งผิวของ

แบบบูป (Knoop hardness testing) และการทดสอบความแข็งผิวแบบวิคเกอร์ (Vicker hardness testing) เนื่องจากการทดสอบความแข็งผิวของวิชีทั้งสองนี้ เหมาะสมสำหรับการตรวจด้วยตัวอย่างที่มีขนาดเล็กและบาง การทดสอบความแข็งผิวแบบบูปมีความเหมาะสมในการวัดความแข็งผิวสำหรับวัสดุประเภทพอลิเมอร์ที่มีความยืดหยุ่นเล็กน้อย เนื่องจากการอยู่กัดที่ได้มีรูปร่างเป็นพีระมิดสี่เหลี่ยมรูปเพชรด้านเท่า การคายด้วยตัวของวัสดุพอลิเมอร์หลังจากการกดจะมีผลให้รอยกดมีการเปลี่ยนแปลงขนาดและรูปร่างเพียงเล็กน้อย [34] การทดสอบความแข็งผิวแบบบูปจึงเป็นที่นิยมในการทดสอบความแข็งผิวของวัสดุประเภทเรซินคอมโพลิต [15, 17, 23, 25, 30, 35-36] งานวิจัยนี้เป็นการศึกษาถึงผลของความหนาของชิลิโคนนิดใสต่อความแข็งผิวของวัสดุเรซินคอมโพลิตสำหรับครอบฟันและละพาเนฟันชั่วคราว ชนิดบ่มเองร่วมกับบ่มด้วยแสง โดยมีสมมติฐานการวิจัยคือ ความหนาของชิลิโคนนิดใสไม่มีผลต่อความแข็งผิวของวัสดุเรซินคอมโพลิตสำหรับครอบฟันและละพาเนฟันชั่วคราวชนิดบ่มเองร่วมกับบ่มด้วยแสง

วัสดุอุปกรณ์และวิธีการ

อุปกรณ์ประกอบวัดความแข็งผิวดับจุลภาค L&P เป็นแท่นโลหะที่ออกแบบมาเพื่อให้สามารถเตรียมวัสดุให้มีขนาดตามมาตรฐาน ISO 4049 [37] โดยอุปกรณ์ดังกล่าวมีลักษณะเป็นแท่นโลหะขนาดกว้าง 40.0 มิลลิเมตร ยาว 75.0 มิลลิเมตร หนา 4.0 มิลลิเมตร มีช่องสำหรับวางปลายแท่งไข้แก้วสำเร็จของเครื่องฉายแสงขนาด กว้าง 10.0 มิลลิเมตร ยาว 10.0 มิลลิเมตร และมีช่องสำหรับบรรจุวัสดุที่ต้องการทดสอบ กว้าง 4.0 มิลลิเมตร ยาว 14.0 มิลลิเมตร หนา 4.0 มิลลิเมตร ดังที่แสดงในรูปที่ 1

ขนาดและรูปร่างของอุปกรณ์ประกอบวัดความแข็งผิวดับจุลภาค L&P สามารถควบคุมปัจจัยที่มีผลต่อการแข็งตัวของวัสดุครอบฟันและละพาเนฟันชั่วคราว เช่น การออกแบบให้มีช่องสำหรับวางปลายแท่งไข้แก้ว สำเร็จจะช่วยกำหนดระยะห่างระหว่างปลายแท่งไข้แก้วสำเร็จและพื้นผิวด้านบนสุดของวัสดุให้คงที่ ช่องสำหรับบรรจุวัสดุทดสอบจะเป็นลิ้นที่ควบคุมขนาดและรูปร่างของวัสดุครอบฟันและละพาเนฟันชั่วคราว



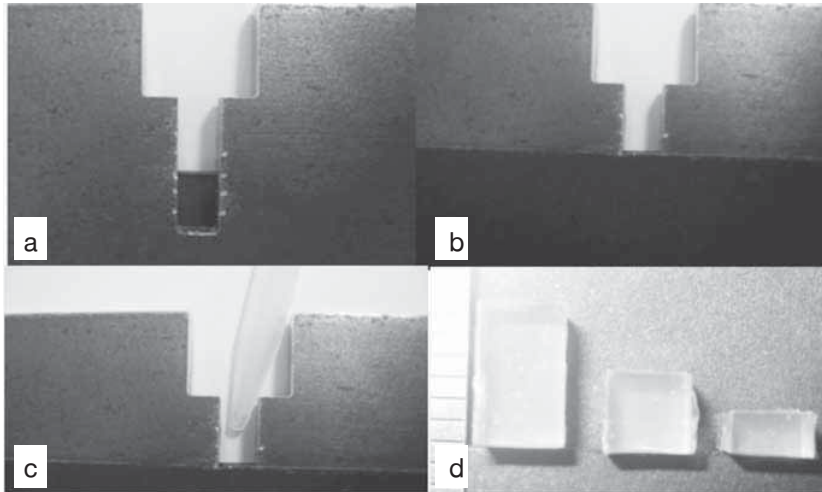
รูปที่ 1 อุปกรณ์ประกอบวัดความแข็งผิวดับจุลภาค L&P

Figure 1. L&P mold

การเตรียมซิลิโคนชนิดใส

เตรียมซิลิโคนชนิดใส มีโมชิวทู (Memosil 2[®], Heraeus Kulzer, Hanau, Germany) ออกเป็น 3 กลุ่ม

โดยมีขนาดความหนา 2.0 4.0 และ 6.0 มิลลิเมตร
ขั้นตอนทั้งหมดแสดงในรูปที่ 2



รูปที่ 2 แสดงขั้นตอนการเตรียมซิลิโคนชนิดใส

Figure 2. Steps in clear silicone preparation

นำเเพ่นแก้วทึบแสงประกอบด้านหลังของอุปกรณ์ประกอบวัดความแข็งพิวระดับจุลภาค L&P ในระดับความสูง 2.0 4.0 หรือ 6.0 มิลลิเมตรจากส่วนล่างสุดของช่องกลางในอุปกรณ์ประกอบวัดความแข็งพิวระดับจุลภาค L&P (a) นำเเพ่นแก้วทึบแสงอีกหนึ่งแผ่นประกอบด้านตรงข้ามในระดับความสูงเดียวกันกับเเพ่นแรกที่ได้ประกอบไป (b) ฉีดซิลิโคนชนิดใสผ่านอุปกรณ์ผสมอัตโนมัติในช่องที่เกิดจากการประกอบเเพ่นแก้วทึบแสง กำจัดวัสดุส่วนเกินที่ล้นออกมาก และฉ่ายแสงผ่านเครื่องฉายแสงหลอดยาโลเจน (PEKALUX[®]; 3M) เป็นเวลา 40 วินาที เมื่อนำเเพ่นแก้วทึบแสงที่ประกอบไว้ออกจะได้ฐานเพื่อรองรับวัสดุครอบพื้นและลงทะเบียนชั่วคราวความสูง 2.0 4.0 และ 6.0 มิลลิเมตร แล้วจึงฉ่ายแสงเพิ่ม 40 วินาทีทั้งด้านหน้าและด้านหลังต่อวัสดุครอบพื้นและลงทะเบียนชั่วคราว (c) แท่งซิลิโคนชนิดใสเพื่อใช้เตรียมวัสดุครอบพื้นและลงทะเบียนพื้นชั่วคราว (d)

การเตรียมฐานเพื่อรองรับวัสดุครอบพื้นชั่วคราว

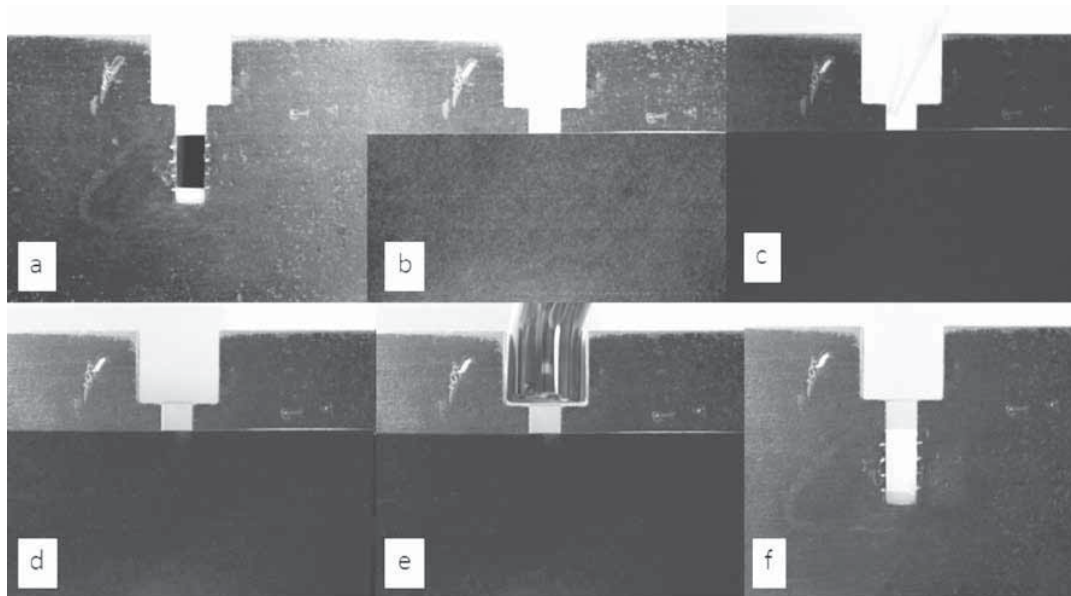
นำเเพ่นแก้วทึบแสงประกอบด้านหลังของอุปกรณ์ประกอบวัดความแข็งพิวระดับจุลภาค L&P ในระดับความสูง 2.0 4.0 และ 6.0 มิลลิเมตรโดยวัดจากส่วน

ล่างสุดของช่องกลางในอุปกรณ์ประกอบวัดความแข็งพิวระดับจุลภาค L&P และนำเเพ่นแก้วทึบแสงอีกหนึ่งแผ่นประกอบด้านตรงข้ามในระดับความสูงเดียวกันกับเเพ่นแรกที่ได้ประกอบไป ทำการฉีดวัสดุครอบพื้นและลงทะเบียนชั่วคราวผ่านอุปกรณ์ผสมอัตโนมัติ กำจัดวัสดุส่วนเกินที่ล้นออกมาก และฉ่ายแสงผ่านเครื่องฉายแสงหลอดยาโลเจน (PEKALUX[®]; 3M) เป็นเวลา 40 วินาที เมื่อนำเเพ่นแก้วทึบแสงที่ประกอบไว้ออกจะได้ฐานเพื่อรองรับวัสดุครอบพื้นและลงทะเบียนพื้นชั่วคราวความสูง 2.0 4.0 และ 6.0 มิลลิเมตร แล้วจึงฉ่ายแสงเพิ่ม 40 วินาทีทั้งด้านหน้าและด้านหลังต่อวัสดุครอบพื้นและลงทะเบียนพื้นชั่วคราว โดยฐานเพื่อรองรับวัสดุครอบพื้นและลงทะเบียนพื้นชั่วคราวความสูง 6.0 มิลลิเมตรจะใช้ร่วมกับกลุ่มที่ไม่ใช้ซิลิโคนชนิดใส ฐานเพื่อรองรับวัสดุทดสอบความสูง 4.0 มิลลิเมตรจะใช้ร่วมกับกลุ่มซิลิโคนชนิดใสที่มีความสูง 2.0 มิลลิเมตร และฐานเพื่อรองรับ

วัสดุทดสอบความสูง 2.0 มิลลิเมตรจะใช้กับกลุ่มชิลิโคน ชนิดใส่ที่มีความสูง 4.0 มิลลิเมตร โดยฐานเพื่อรองรับ วัสดุครอบฟันและสะพานฟันชั่วคราวนี้จะไม่ได้นำไป ทดสอบความแข็งผิวแบบบูป ซึ่งการใช้ฐานเพื่อรองรับ วัสดุครอบฟันและสะพานฟันชั่วคราวจะเป็นตัวช่วย ควบคุมให้ปลายของท่อน้ำแรงจากเครื่องฉ่ายแสงชิด กับโครงแบบชิลิโคนชนิดใส่โดยไม่มีช่องว่างของอากาศ

การเตรียมวัสดุครอบฟันและสะพานฟันชั่วคราว

เมื่อได้ชิลิโคนชนิดใส่ซึ่งเป็นตัวแทนของโครง แบบที่ความหนาทั้ง 3 ระดับคือ 2.0 4.0 และ 6.0 มิลลิเมตร จึงทำการเตรียมวัสดุครอบฟันและสะพานฟันชั่วคราวที่ จะใช้ทดสอบความแข็งผิวแบบบูปตามขั้นตอนที่แสดง ในรูปที่ 3



**รูปที่ 3 แสดงขั้นตอนการเตรียมวัสดุครอบฟันและสะพานฟันชั่วคราว
โดยใช้ฐานเพื่อรองรับวัสดุความสูง 2.0 มิลลิเมตร**

Figure 3. Steps in provisional restoration preparation : 2.0 mm base height

นำแผ่นแก้วทึบแสงประกนด้านหลังของอุปกรณ์ ประกอบวัดความแข็งผิวระดับจุลภาค L&P ที่มีฐานรองรับวัสดุครอบฟันและสะพานฟันชั่วคราวความสูง 2.0 มิลลิเมตร โดยประกนแผ่นแก้วทึบแสงสูง 10.0 มิลลิเมตร ประกอบวัดความแข็งผิวระดับจุลภาค L&P ให้มีระดับสูง พอดีกับขอบนของแผ่นแก้วทึบแสง (a) นำแผ่นแก้วทึบแสงอีกหนึ่งแผ่นประกนด้านตรงข้าม ในระดับความสูงเดียวกันกับแผ่นแรกที่ได้ประกนไป (b)

ฉีดวัสดุครอบฟันและสะพานฟันชั่วคราวผ่านอุปกรณ์ ผสมอัตโนมัติและกำจัดวัสดุส่วนเกิน (c) นำชิลิโคน ชนิดใส่ความหนา 4.0 มิลลิเมตรมาวางในอุปกรณ์ ประกอบวัดความแข็งผิวระดับจุลภาค L&P ให้มีระดับสูง พอดีกับขอบนของแผ่นแก้วทึบแสง (d) นำปลายแท่ง ไขแก้วนำแสงของเครื่องฉ่ายแสงมาวางในช่องกลาง ของอุปกรณ์ประกอบวัดความแข็งผิวระดับจุลภาค L&P และวิ่งทำการฉ่ายแสงผ่านเครื่องฉ่ายแสงหลอดไฮโลเจน

เป็นเวลา 40 วินาที (e) เมื่อนำเเพ่นแก้วทึบแสงที่ประกับไว้ออกจะได้วัสดุครอบพื้นและสะพานพื้นชั้วครัวที่มีขนาดพอตีกับขนาดของซ่องกลางของอุปกรณ์ประกอบวัดความแข็งผิวระดับจุลภาค (f) ส่วนขั้นตอนการเตรียมวัสดุครอบพื้นและสะพานพื้นชั้วครัวโดยใช้ฐานเพื่อรองรับวัสดุความถูง 4.0 มิลลิเมตร จะใช้ร่วมกับชิลลิโคนชนิดใสความหนา 2.0 มิลลิเมตร มีวิธีการเตรียมวัสดุเช่นเดียวกับวิธีการดังกล่าวขั้นต้น และขั้นตอนการเตรียมวัสดุครอบพื้นและสะพานพื้นชั้วครัวโดยใช้ฐานเพื่อรองรับวัสดุความถูง 6.0 มิลลิเมตร เป็นกลุ่มที่ไม่ใช้ชิลลิโคนชนิดใสร่วม การตรวจวัดความแข็งผิวแบบนูปและบันทึกผล

ขั้นงานจากวัสดุทั้ง 2 ชนิดคือ เทมสแปน (TempSpan®, Pentron, Wallingford, CT, USA) และลักชาเทมโซล่า (Luxatemp Solar®, DMG, Hamburg, Germany) แบ่งออกเป็น 4 กลุ่ม ตามความหนาของแท่งชิลลิโคนชนิดใสได้แก่ กลุ่มที่ 1 คือ กลุ่มที่ไม่มีชิลลิโคนชนิดใส (S0) กลุ่มที่ 2 คือกลุ่มที่ใช้ชิลลิโคนชนิดใส ความหนา 2.0 มิลลิเมตร (S2) กลุ่มที่ 3 คือกลุ่มที่ใช้ชิลลิโคนชนิดใสความหนา 4.0 มิลลิเมตร (S4) และกลุ่มที่ 4 คือกลุ่มที่ใช้ชิลลิโคนชนิดใสความหนา 6.0 มิลลิเมตร (S6) โดยวัสดุแต่ละชนิดจะใช้จำนวนตัวอย่าง 12 ชิ้นรวมทั้งหมดเป็น 48 ชิ้น



รูปที่ 4 การวัดค่าความแข็งผิวแบบนูป
Figure 4. Knoop hardness measurement

ขีดเส้นด้วยปากกาสีโดยเทียบจากสเกลบนอุปกรณ์ประกอบวัดความแข็งผิวระดับจุลภาค L&P ลงบนวัสดุครอบพื้นและสะพานพื้นชั้วครัวจะได้ 3 เส้นที่มีระยะห่าง 2.0 มิลลิเมตร โดยวัดจากขอบบนสุดของวัสดุครอบพื้นและสะพานพื้นชั้วครัว เพื่อทำการวัดค่าในแต่ละส่วนของความหนาโดยเริ่มจากส่วนบนสุดของวัสดุครอบพื้นและสะพานพื้นชั้วครัวได้แก่ที่ระดับ 0.25 (D0) 2.0 (D2) 4.0 (D4) และ 6.0 (D6) มิลลิเมตร (a) นำตัวอย่างมาวัดความแข็งผิวแบบนูป ด้วยเครื่องทดสอบความแข็งผิวระดับจุลภาค (MHT-10® Micro-hardness Tester, Anton Paar GMBH, Austria) โดยใช้น้ำหนักขนาด 25 กรัม นาน 10 วินาที โดยในขั้นตอน

การเตรียมตัวอย่างจะทำการทดสอบความแข็งผิวแบบนูปของแต่ละกลุ่มนี้จะต้องใช้เวลาไม่เกิน 180 วินาที เพื่อควบคุมปัจจัยเรื่องระยะเวลาจากการบ่มเมืองของวัสดุครอบพื้นและสะพานพื้นชั้วครัว (b) รอยกดที่ปรากฏจะทำการล้างเกตและวัดผ่านกล้องจุลทรรศน์สเตอโริโอของเครื่องทดสอบความแข็งผิวแบบนูป (c) ภายใต้ช่องจำกัดของอุปกรณ์ประกอบวัดความแข็งผิวระดับจุลภาค L&P นี้ ทำให้ไม่สามารถวัดค่าเฉลี่ยความแข็งผิวแบบนูปที่ระดับความลึก 0.0 มิลลิเมตรจากส่วนบนสุดของชิ้นงานได้ ดังนั้นผู้วิจัยจึงเลือกค่าเฉลี่ยความแข็งผิวแบบนูปที่ระดับความลึก 0.25 มิลลิเมตรจากส่วนบนสุดของชิ้นงานแทน เพราะเป็นระดับความลึกที่

ห่างจากส่วนบนสุดของชิ้นงานที่น้อยที่สุดที่จะสามารถใช้หัวดับเบลนูปทดสอบชิ้นงานได้อย่างเที่ยงตรง เพราะฉะนั้นค่าเฉลี่ยความแข็งผิวแบบบูปที่ระดับความลึก 0.25 มิลลิเมตรจากส่วนบนสุดของชิ้นงานจะเป็นตัวแทนของค่าเฉลี่ยความแข็งผิวแบบบูปที่ระดับความลึก 0.0 มิลลิเมตรจากส่วนบนสุดของชิ้นงาน

จากนั้นนำมารวบรวมค่าของบูป (Knoop hardness number, KHN) ซึ่งเป็นสัดส่วนของแรงกดต่อหนึ่งหน่วยพื้นที่ตามสูตรคำนวณดังนี้

$$KHN = F/A = P/CL^2$$

F = แรงกด หน่วยเป็นกิโลกรัม

A = พื้นที่ผิว หน่วยเป็นตารางมิลลิเมตร

P = แรง หน่วยเป็นกิโลกรัม

L = ความลึกที่วัดได้ของรอยกด หน่วยเป็นมิลลิเมตร

C = 0.07028 = ค่าคงที่ซึ่งล้มพนธ์กับพื้นที่ผิวของรอยกดกับความพยายามและความลึกของรอยกด

บันทึกข้อมูลและทำการการประมวลผลทางสถิติด้วยการวิเคราะห์ความแปรปรวนแบบสองทาง (Two-Way ANOVA) และเปรียบเทียบเชิงช้อนด้วยวิธีทูกปี (Tukey) ที่ระดับนัยสำคัญทางสถิติ 0.05 ด้วยโปรแกรม SPSS

ผลการทดลอง

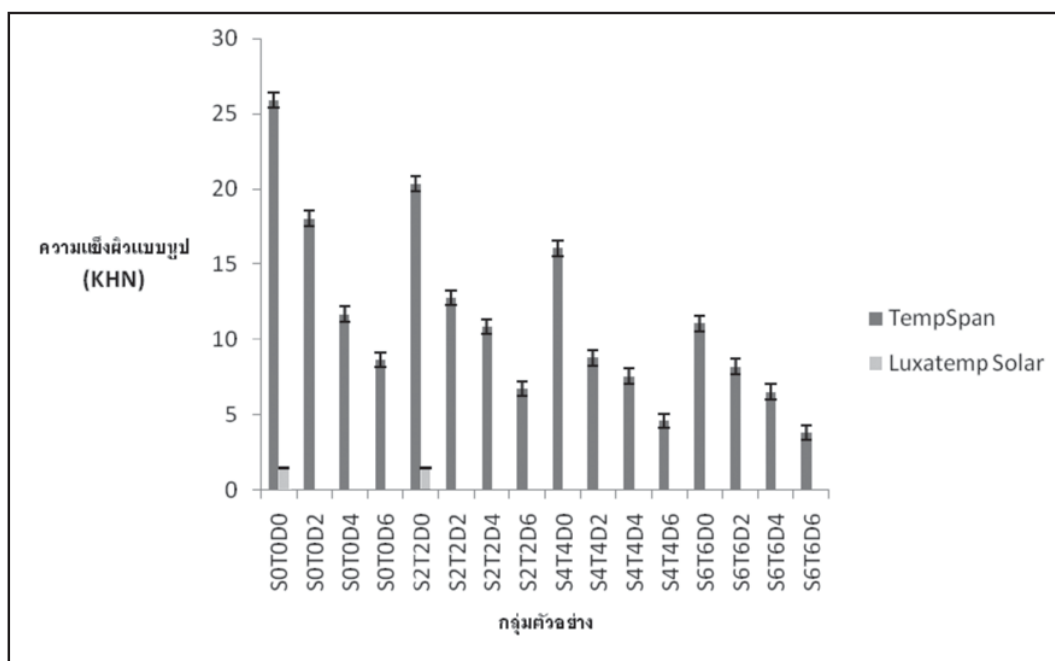
หลังจากทำการทดสอบความแข็งผิวแบบบูปบันทึกข้อมูลโดยแบ่งตามชนิดของวัสดุครอบพื้นและสะพานพื้นชั้วครัวและตามความหนาของชิลิโคนชนิดใส ได้แก่ กลุ่มที่ไม่ใช้ชิลิโคนชนิดใส และกลุ่มที่ใช้ชิลิโคนชนิดใสความหนา 2.0 4.0 และ 6.0 มิลลิเมตร รวมทั้งหมด 4 กลุ่ม แต่ละกลุ่มมีจำนวนตัวอย่างทั้งหมด กลุ่มละ 12 ตัวอย่างและในแต่ละตัวอย่างมีข้อมูลเป็นรอยกดจำนวน 4 รอยกดตามระดับความลึกของวัสดุครอบพื้นและสะพานพื้นชั้วครัวโดยแบ่งเป็นความลึกที่ 0.25 2.0 4.0 และ 6.0 มิลลิเมตร ดังนั้น เมื่อแยกเป็นกลุ่มตามความหนาของชิลิโคนชนิดใสและความลึกของวัสดุครอบพื้นและสะพานพื้นชั้วครัวแล้วจะมีทั้งลิน 16 กลุ่มอยู่ โดยค่าเฉลี่ยความแข็งผิวแบบบูปและค่าเบี่ยงเบนมาตรฐานของวัสดุกลุ่ม เทมสเปนโดยแสดงไว้ดังตารางที่ 1 ส่วนกลุ่มลักษณะใหม่จะสามารถวัดค่าเฉลี่ยความแข็งผิวแบบบูปได้เพียง 2 กลุ่มคือ S0D0 และ S2D0 โดยมีค่าเฉลี่ยความแข็งผิวแบบบูป 1.46 และ 1.41 ตามลำดับ และแสดงค่าเฉลี่ยความแข็งผิวแบบบูปและค่าเบี่ยงเบนมาตรฐานของวัสดุกลุ่ม เทมสเปนและลักษณะใหม่จะอยู่ในรูปที่ 5

ตารางที่ 1 แสดงค่าเฉลี่ย (ค่าเบี่ยงเบนมาตรฐาน) ของความแข็งผิวแบบบูปของวัสดุเทมสเปนที่ระดับความลึกต่างๆ เมื่อถูกตรวจสอบภายใต้ความหนาของชิลิโคนใส

Table 1. shows the mean KHN (Standard deviation) of depth of TempSpan investigated as function of clear silicone thickness

ความหนาของชิลิโคนชนิดใส	ระดับความลึกของวัสดุครอบพื้นชั้วครัว			
	D0	D2	D4	D6
S0	25.90(0.89) ^a	18.04(0.52) ^b	11.69(0.58) ^c	8.64(0.61) ^d
S2	20.34(0.70) ^e	12.78(0.38) ^f	10.86(0.57) ^g	6.75(0.60) ^h
S4	16.09(0.97) ⁱ	8.77(0.40) ^d	7.56(0.55) ^j	4.60(0.45) ^k
S6	11.08(1.09) ^c	8.16(0.82) ^d	6.53(0.81) ^h	3.80(0.50) ^l

ตัวอักษรภาษาอังกฤษที่ต่างกันหลังค่าเฉลี่ยแสดงความแตกต่างกันทางสถิติ ($p < 0.05$)



รูปที่ 5 แสดงค่าเฉลี่ยความแข็งผิวแบบบูปของวัสดุครอบพื้นและสะพานพื้นชั่วคราว เทมสเปนและลักษณะเทมโซล่า เมื่อถูกตรวจสอบภายใต้ระดับความลึกของชิลลิโคนิลส์

Figure 5. shows the mean KHN of TempSpan and Luxatemp Solar investigated in term of specimen depth and clear silicone thickness

จากรูปที่ 5 และตารางที่ 1 จะพบว่าวัสดุเทมสเปนมีค่าเฉลี่ยความแข็งผิวแบบบูปสูงที่สุดคือกลุ่ม S0D0 มีค่าเท่ากัน 25.90 และค่าเบี่ยงเบนมาตรฐาน 0.89 ค่าเฉลี่ยความแข็งผิวแบบบูปต่ำที่สุดคือกลุ่ม S6D6 มีค่าเท่ากัน 3.80 ค่าเบี่ยงเบนมาตรฐาน 0.50 วัสดุลักษณะเทมโซล่า มีค่าเฉลี่ยความแข็งผิวแบบบูปสูงที่สุดคือกลุ่ม S0D0 มีค่าเท่ากัน 1.46 ค่าเบี่ยงเบนมาตรฐาน 0.024

เมื่อเปรียบเทียบค่าเฉลี่ยความแข็งผิวแบบบูปในทุกกลุ่มตัวอย่างเป็นร้อยละโดยเปรียบเทียบกับค่าความแข็งผิวแบบบูปที่ S0D0 พบว่าวัสดุเทมสเปนไม่มีกลุ่มตัวอย่างใดที่มีร้อยละของค่าเฉลี่ยความแข็งผิวแบบบูปเกินร้อยละ 80 เมื่อเปรียบเทียบกับค่าเฉลี่ยความแข็งผิวแบบบูปที่ระดับ D0 ผลการเปรียบเทียบด้วยการวิเคราะห์ปัจจัยด้วยการวิเคราะห์ความแปรปรวนแบบสองทาง

ในกลุ่มเทมสเปน เมื่อทำการตรวจสอบการแจกแจงของข้อมูลทั้ง 16 กลุ่มด้วยสถิติโคโนโกลอฟส์ไมโนป์ (Kolmogorov-Smirnov) พบว่าข้อมูลมีการแจกแจงแบบปกติ ที่ระดับนัยสำคัญ 0.05 เมื่อตรวจสอบความเหมือนของความแปรปรวนของข้อมูลด้วยสถิติเลเวน (Levene's Test) พบว่าข้อมูลมีความแปรปรวนเท่ากันที่ระดับนัยสำคัญ 0.05 เมื่อวิเคราะห์ความแปรปรวนแบบสองทางเพื่อทดสอบอิทธิพลของปัจจัยจากความหนาของวัสดุครอบพื้นและสะพานพื้นชั่วคราวและความหนาของชิลลิโคนิลส์ พบว่าอิทธิพลของความหนาชิลลิโคนินิดໃล ชนิดใส อิทธิพลของความลึกของวัสดุครอบพื้นและสะพานพื้นชั่วคราว และอิทธิพลร่วมของทั้งสองปัจจัยล้วนมีอิทธิพลต่อความแข็งผิวแบบบูป ที่ระดับนัยสำคัญ 0.05 ดังนั้นจึงปฏิเสธสมมุติฐานที่ว่า ความหนาของชิลลิโคนินิดใสไม่มีผลต่อความแข็งผิวของวัสดุครอบพื้นและสะพานพื้นชั่วคราวชนิดบ่มเองร่วมกับบ่มด้วยแสง

เมื่อทำการเปรียบเทียบเชิงช้อนตามตารางที่ 1 เพื่อวิเคราะห์ความแตกต่างระหว่างกลุ่มเหมสแปนด้วยสถิติทูเกิร์พว่า เมื่อทำการเปรียบเทียบค่าเฉลี่ยความแข็งผิวแบบนูประหว่างความลึกของวัสดุครอบพื้นและสะพานพื้นชั่วคราวที่ความลึก 0.25 2.0 4.0 และ 6.0 มิลลิเมตร ร่วมกับการใช้โครงแบบชิลลิโคนชนิดใส ที่ความหนาเท่ากับพื้นที่ไม่ใช้โครงแบบชิลลิโคนชนิดใส กลุ่มที่ใช้โครงแบบชิลลิโคนชนิดใสหนา 2.0 มิลลิเมตร กลุ่มที่ใช้โครงแบบชิลลิโคนชนิดใสหนา 4.0 มิลลิเมตร และโครงแบบชิลลิโคนชนิดใสหนา 6.0 มิลลิเมตร ให้ผลการทดสอบเหมือนกันคือ ค่าเฉลี่ยความแข็งผิวแบบนูปที่ความลึกของวัสดุครอบพื้นและสะพานพื้นชั่วคราวทั้ง 4 ระดับมีค่าแตกต่างกัน ($p<0.05$) โดยความลึกที่ 0.25 มิลลิเมตรมีค่าเฉลี่ยความแข็งผิวแบบนูปสูงที่สุด รองลงมาเป็นที่ระดับความลึก 2.0 4.0 และ 6.0 มิลลิเมตรตามลำดับและเมื่อเปรียบเทียบค่าเฉลี่ยความแข็งผิวแบบนูประหว่างการไม่ใช้โครงแบบชิลลิโคนชนิดใสและโครงแบบชิลลิโคนชนิดใสความหนา 2.0 4.0 และ 6.0 มิลลิเมตร ที่ระดับความลึกเดียวกันของวัสดุครอบพื้นและสะพานพื้นชั่วคราวพบว่า ทุกระดับความลึกของวัสดุครอบพื้นและสะพานพื้นชั่วคราวมีแนวโน้มไปในทิศทางเดียวกันคือค่าเฉลี่ยความแข็งผิวแบบนูปของโครงแบบชิลลิโคนชนิดใสทั้ง 4 แบบมีความแตกต่างกัน ($p<0.05$) โดยกลุ่มที่ไม่ใช้ชิลลิโคนชนิดใสมีค่าเฉลี่ยความแข็งผิวแบบนูปสูงที่สุด รองลงมาคือที่ระดับความหนาของชิลลิโคนชนิดใส 2.0 4.0 และ 6.0 มิลลิเมตรตามลำดับ

บทวิจารณ์

ความแข็งผิวระดับจุลภาคออกจากจะเป็นค่าที่บ่งบอกถึงความหนาแน่นต่อการสึกแกร่งสามารถใช้เป็นตัวเบรียบเทียบและชี้วัดถึงระดับของการเกิดพอลิเมอร์แต่ความแข็งผิวระดับจุลภาคไม่สามารถใช้ เป็นค่าที่อ้างอิงถึงความแข็งแรงโดยรวมของวัสดุครอบพื้นและสะพานพื้นชั่วคราวหรือสมบัติทางกลอื่นๆ [3,38] ซึ่งนอกจากจะระดับการเกิดพอลิเมอร์แล้วยังมีปัจจัยอื่นๆ ที่มี

ผลต่อสมบัติทางกลโดยเฉพาะสารเติม [27] วัสดุครอบพื้นและสะพานพื้นชั่วคราวแต่ละชนิดมีความแตกต่างทั้งปริมาณและชนิดของสารเติม [6, 19, 21, 39, 40] งานวิจัยขึ้นนี้เน้นศึกษาด้วยการเกิดพอลิเมอร์ของวัสดุครอบพื้นชั่วคราวภายใต้ปัจจัยของความหนาของชิลลิโคนชนิดใสที่แตกต่างกัน ไม่ได้มุ่งเน้นศึกษาปัจจัยของสารเติม ทั้งนี้ถ้าจำเป็นต้องมีการศึกษาเบรียบเทียบระหว่างวัสดุตั้งแต่ 2 ชนิดขึ้นไป ปัจจัยจากสารเติมเป็นสิ่งที่ควรนำมาวิเคราะห์และเปรียบเทียบเนื่องจากเป็นหนึ่งในปัจจัยที่มีผลโดยตรงต่อสมบัติทางกล

งานวิจัยนี้ใช้หัวกดชนิดนูปในการทดสอบความแข็งผิวระดับจุลภาค เพราะว่าวัสดุที่นำมาทดสอบในงานวิจัยนี้เกิดการเริ่นตัวหลังจากได้รับแรงกด ความเค้นสะสมในเนื้อวัสดุจะส่งผลแต่เพียงเล็กน้อยในมิติแกนยาวของรอยกด ทำให้หัวกดแบบนูปปังคงสามารถวัดผลได้อย่างแม่นยำ [8, 34] รอยกดชนิดนูปจึงเป็นเครื่องมือที่มีประสิทธิภาพในการวัดการเกิดพอลิเมอร์ของวัสดุ เชินคอมโพลิตที่ใช้เป็นวัสดุครอบพื้นและสะพานพื้นชั่วคราว [8, 23, 37, 41] โดยเฉพาะในงานทดลองนี้ ซึ่งกลุ่มตัวอย่างเป็นวัสดุประเภทเรซินคอมโพลิตโดยมีระดับการเกิดพอลิเมอร์แตกต่างกันไปตามปัจจัยที่ทำการทดลอง การใช้หัวกดแบบนูปในการทดสอบจึงช่วยลดความผิดพลาดในการเก็บข้อมูลจากล้วนของตัวอย่างที่มีความแข็งผิวต่ำและมีความยืดหยุ่นจากการที่เกิดพอลิเมอร์ไม่สมบูรณ์

วัสดุในทางทันตกรรมหลายชนิดที่ผลิตขึ้นมาในลักษณะบ่มเองร่วมกับบ่มด้วยแสง เช่น สารเชื่อมยีด (luting agent) แกนคอมโพลิต (composite core) และวัสดุทำครอบพื้นและสะพานพื้นชั่วคราว ซึ่งกลไกการบ่มเองร่วมกับบ่มด้วยแสงเป็นกลไกที่ผสมผสานกันระหว่างการบ่มเองและบ่มด้วยแสง กระบวนการบ่มเองจะเริ่มเมื่อวัสดุได้รับการผสมเข้าด้วยกันระหว่างส่วนเร่งปฏิกิริยาและส่วนเบส ส่วนกระบวนการบ่มด้วยแสงจะเริ่มเมื่อมีการฉายแสงในความยาวคลื่นที่เหมาะสม ซึ่งดีของวัสดุกลุ่มนี้คือมีกลไกการบ่มตัว 2 ชนิดที่สามารถทำงานไปพร้อมกันได้แม้ในบริเวณที่ไม่

สามารถฉายแสงได้อย่างทั่วถึง เช่น ผู้ด้านในของครอบพันและผนังคลองรากพัน แต่กลไกการบ่มเองจะเกิดขึ้นช้าและกลไกการบ่มเองเพียงอย่างเดียวอาจไม่เพียงพอให้วัสดุเกิดพอลิเมอร์อย่างสมบูรณ์เมื่อเทียบกับการใช้การบ่มด้วยแสงร่วมด้วย [42-45] จึงมีการแนะนำว่าให้ฉายแสงร่วมด้วยเลมอ [18] แต่มีบางงานวิจัยที่รายงานผลการทดลองที่แตกต่างโดย Taubock และคณะในปี 2011 รายงานผลการทดลองของวัสดุแกนคอมโพลิทชนิดบ่มเองร่วมกับบ่มด้วยแสงพบว่าไม่มีความแตกต่างกันของความแข็งผิวแบบบูรณาการที่ร่วมกับบ่มด้วยแสงนั้น เกิดการบ่มเองหลังจากผ่านรูปแบบของการฉายแสงที่แตกต่างกันเป็นระยะเวลาที่ 14 วันพบว่าไม่มีความแตกต่างกันของค่าความแข็งผิวอย่างมีนัยสำคัญ [46] ฉะนั้นกลไกการบ่มเองนั้นอาจมีประสิทธิภาพดีถ้าเพิ่มระยะเวลาให้แก่กลไกการบ่มเองนี้นานเพียงพอ แต่ทั้งนี้ไม่เป็นที่ชัดเจนถึงระยะเวลาดังกล่าว เพราะวัสดุแต่ละชนิดมีองค์ประกอบต่างกันขึ้นกับการผลิตของบริษัทผู้ผลิต ดังนั้นจึงเป็นการยากที่จะชี้ชัดถึงเวลาที่เหมาะสมงานวิจัยชั้นนี้ไม่ได้มุ่งที่จะเดินทางของประสิทธิภาพการเกิดพอลิเมอร์จากกลไกการบ่มเองของวัสดุครอบพันและสะพานพันชั่วคราวในระยะยาว แต่ปัจจัยดังกล่าวอาจมีความสำคัญต่อคุณสมบัติของวัสดุครอบพันและสะพานพันชั่วคราวซึ่งควรทดสอบเพิ่มเติมต่อไป

วิธีการวิจัยเพื่อควบคุมปัจจัยของการบ่มเองของวัสดุ ผู้วิจัยได้ทำการทดลองโดยควบคุมเวลาทั้งหมดในการทดลองไม่เกิน 180 วินาทีเพื่อลดผลกระทบจากการบ่มเองของวัสดุครอบพันและสะพานพันชั่วคราวให้น้อยที่สุด จากการทดลองพบว่าวัสดุเทมสเปนไม่สามารถเกิดพอลิเมอร์ได้อย่างทั่วถึง โดยส่วนของพื้นผิวที่อยู่ใกล้กับแหล่งกำเนิดแสงจะเกิดพอลิเมอร์ในอัตราที่สูงกว่าส่วนที่อยู่ลึกลงไปโดยเฉพาะส่วนที่ลึกมากกว่า 2.0 มิลลิเมตรจากผิว ดังนั้นจึงสรุปได้ว่าวัสดุในส่วนที่ลึกไม่สามารถถูกกระตุนให้เกิดกลไกการบ่มด้วยแสงได้

อย่างมีประสิทธิภาพ ทั้งนี้กระบวนการเกิดพอลิเมอร์จึงเกิดจากการบ่มเองเป็นส่วนใหญ่ เมื่อสังเกตจากค่าเฉลี่ยความแข็งผิวแบบบูรณาการที่ร่วมด้วยแสงร่วมด้วยเลมอ [18] จึงมีการแนะนำว่าให้ฉายแสงร่วมด้วยแสงร่วมด้วยเลมอ [18] แต่มีบางงานวิจัยที่รายงานผลการทดลองที่แตกต่างโดย Taubock และคณะในปี 2011 รายงานผลการทดลองของวัสดุแกนคอมโพลิทชนิดบ่มเองร่วมกับบ่มด้วยแสงพบว่าไม่มีความแตกต่างกันของความแข็งผิวแบบบูรณาการที่ร่วมด้วยแสงนั้น เกิดการบ่มเองหลังจากผ่านรูปแบบของการฉายแสงที่แตกต่างกันเป็นระยะเวลาที่ 14 วันพบว่าไม่มีความแตกต่างกันของค่าความแข็งผิวอย่างมีนัยสำคัญ [46] ฉะนั้นกลไกการบ่มเองนั้นอาจมีประสิทธิภาพดีถ้าเพิ่มระยะเวลาให้แก่กลไกการบ่มเองนี้นานเพียงพอ แต่ทั้งนี้ไม่เป็นที่ชัดเจนถึงระยะเวลาดังกล่าว เพราะวัสดุแต่ละชนิดมีองค์ประกอบต่างกันขึ้นกับการผลิตของบริษัทผู้ผลิต ดังนั้นจึงเป็นการยากที่จะชี้ชัดถึงเวลาที่เหมาะสมงานวิจัยชั้นนี้ไม่ได้มุ่งที่จะเดินทางของประสิทธิภาพการเกิดพอลิเมอร์จากกลไกการบ่มเองของวัสดุครอบพันและสะพานพันชั่วคราวในระยะยาว แต่ปัจจัยดังกล่าวอาจมีความสำคัญต่อคุณสมบัติของวัสดุครอบพันและสะพานพันชั่วคราวซึ่งควรทดสอบเพิ่มเติมต่อไป

วัสดุลักษณะเหมือนโซล่าไม่สามารถเกิดพอลิเมอร์ได้อย่างทั่วถึงและบันทึกผลการทดลองได้เพียง 2 กลุ่ม คือ S0D0 และ S2D0 กลุ่มทดลองที่เหลือไม่สามารถบันทึกค่าความแข็งผิวได้เลยเนื่องจากวัสดุมีความอ่อนตัวมาก จากการทดลองพบว่าค่าเฉลี่ยความแข็งผิวสูงสุดของกลุ่มตัวอย่างลักษณะเหมือนโซล่า (1.46) มีต่ำกว่าค่าเฉลี่ยความแข็งผิวสูงสุดของกลุ่มตัวอย่างเทมสเปน (25.90) ซึ่งภายใต้วิธีการทดลองนี้ลักษณะเหมือนโซล่า ไม่เหมาะสมที่จะนำมาใช้งานเป็นครอบพันและสะพานพันชั่วคราวได้ทันทีภายหลังจากการฉายแสงเป็นเวลา 40 วินาทีเนื่องจากมีค่าความแข็งผิวที่ต่ำซึ่งเมื่อนำแบบชิลโคนใส่ออกจากช่องฟัน อาจเป็นผลทำให้รูปร่างและด้านประดับเกิดการบิดเบี้ยวและผิดรูปร่างไม่เป็นไปตามกายวิภาคของช่องฟันที่จะทำการบูรณะ

มีหลักการศึกษารายงานเกี่ยวกับความลึกของ การบ่มตัวของวัสดุเรซิโน่คอมโพลิทในทางทันตกรรม

ที่เหมาะสม ได้แนะนำว่าควรจะมีค่าความแข็งผิวไม่น้อยกว่าร้อยละ 80 ของค่าความแข็งผิวสูงสุดของวัสดุน้ำ [15, 30, 41, 47] งานวิจัยของ Moore และคณะ ในปี 2008 [15] และ Flury และคณะ ในปี 2012 [41] ได้ศึกษาความลึกของการบ่มตัวของเรซินคอมโพสิตที่ใช้งานด้านทันตกรรมบูรณะโดยวัดจากความหนาของวัสดุที่ให้ค่าความแข็งผิวร้อยละ 80 ของค่าความแข็งสูงสุดเป็นความหนาที่สามารถนำมาใช้งานภายในช่องปากได้

จากการทดลองพบว่าการใช้ชิลิโคนชนิดใส เป็นโครงแบบนั้นจะทำให้วัสดุครอบฟันและสะพานฟันชั่วคราวชนิดบ่มเงงร่วมกับบ่มด้วยแสงมีการก่อตัวที่ไม่สมบูรณ์ เพราะจากงานวิจัยนี้ร้อยละค่าเฉลี่ยความแข็งผิวแบบบูรณะของกลุ่มตัวอย่างเทมสเปนที่วัดค่าเฉลี่ยความแข็งผิวที่ระดับความลึก 0.25 มิลลิเมตรในสภาพที่ใช้ชิลิโคนชนิดใสความหนา 2.0 มิลลิเมตร (D2S0) มีค่าสูงสุดเพียงร้อยละ 69.65 (ซึ่งน้อยกว่าร้อยละ 80) เมื่อเปรียบเทียบกับกลุ่มตัวอย่างที่วัดค่าเฉลี่ยความแข็งผิวที่ระดับความลึก 0.25 มิลลิเมตรในสภาพที่ไม่ได้ใช้ชิลิโคนชนิดใส (DOS0) ซึ่งเป็นกลุ่มทดลองที่มีค่าเฉลี่ยความแข็งผิวสูงที่สุด ซึ่งการที่วัสดุครอบฟันและสะพานฟันชั่วคราวชนิดบ่มเงงร่วมกับบ่มด้วยแสงมีการก่อตัวที่ไม่สมบูรณ์ในระยะแรกๆ นั้นเป็นผลดี เนื่องจากในการทำครอบฟันและสะพานฟันชั่วคราวในระยะแรกๆ ทันตแพทย์ต้องการให้วัสดุครอบฟันและสะพานฟันชั่วคราวที่ไม่แข็งหรือก่อตัวจนสมบูรณ์ก่อนที่จะดึงออกจากฟันหลัก เพราะถ้าถอนวัสดุแล้วในทางปฏิบัติจะไม่สามารถดึงออกจากฟันหลักได้ เพราะว่าจะมีส่วนเกินของวัสดุไปติดอยู่ได้ส่วนคอดของฟันข้างเคียง แต่ทั้งนี้วัสดุครอบฟันชั่วคราวที่ใช้ในการทดลองนี้เป็นชนิดบ่มเงงร่วมกับบ่มด้วยแสงจะสามารถเกิดการบ่มเงงได้อย่างต่อเนื่องทำให้ความแข็งผิวนั้นสูงขึ้นในเวลาต่อมา นอกจากนั้นในทางปฏิบัติเมื่อทำการแยกครอบฟันและสะพานฟันชั่วคราวออกจากโครงแบบชิลิโคนชนิดใส ทันตแพทย์สามารถทำการฉาบแสงจากเครื่องฉาบแสงชาโลเจนให้แก่ครอบฟันและสะพานฟันชั่วคราวให้ทั่ว

ทุกบริเวณเพิ่มได้อีกทางหนึ่ง

บทสรุป

ด้วยข้อจำกัดของการศึกษานี้สามารถสรุปได้ว่า เมื่อใช้แสงจากเครื่องฉาบแสงชนิดชาโลเจนเพียงอย่างเดียวในการบ่มวัสดุครอบฟันและสะพานฟันชั่วคราวชนิดบ่มเงงร่วมกับบ่มด้วยแสงพบว่า ความหนาของของชิลิโคนชนิดใสมีผลต่อค่าความแข็งผิวแบบบูรณะของวัสดุครอบฟันและสะพานฟันชั่วคราวชนิดบ่มเงงร่วมกับบ่มด้วยแสง ดังนั้นการใช้โครงแบบชิลิโคนชนิดใสผลิตครอบฟันและสะพานฟันชั่วคราวจำเป็นต้องมีการฉาบแสงเพิ่มเติมเพื่อให้วัสดุมีค่าความแข็งแรงมากขึ้นก่อนให้ผู้ป่วยใช้งาน

กิตติกรรมประการ

งานวิจัยนี้ได้รับเงินทุนสนับสนุนการวิจัยจากงบประมาณเงินรายได้มหาวิทยาลัย ประจำปี 2555 และได้รับความอนุเคราะห์ในการวิเคราะห์ทางสถิติจากรองศาสตราจารย์ อรพินทร์ เจริญพงษ์ ภาควิชาคณิตศาสตร์ คณะวิทยาศาสตร์ มหาวิทยาลัยศรีนครินทร์วิโรฒ ซึ่งคณะกรรมการขอแสดงความขอบคุณมา ณ โอกาสนี้

เอกสารอ้างอิง

1. Frederick AR. From vulcanite to vinyl, a history of resins in restorative dentistry. J Prosthet Dent 2002; 87: 364-379.
2. Duke ES. Provisional restorative materials: a technology update. Compend Contin Educ Dent 1999; 20: 497-500.
3. Moulding MB, Teplitsky PE. Intrapulpal temperature during direct fabrication of provisional restorations. Int J Prosthodont 1990; 3: 299-304.
4. Lui JL, Setcos JC, Phillips RW. Temporary restorations: a review. Oper Dent 1986; 11: 103-

- 110.
5. Burns DR, Beck DA, Nelson SK. A review of selected dental literature on contemporary provisional fixed prosthodontic treatment: Report of the Committee on Research in Fixed Prosthodontics of the Academy of Fixed Prosthodontics. *J Prosthet Dent* 2003; 90: 474-497.
 6. Balkenhol M, Mautner MC, Ferger P, Wöstmann B. Mechanical properties of provisional crown and bridge materials: Chemical-curing versus dual-curing systems. *J Dent* 2008; 36: 15-20.
 7. Wang RL, Moore BK, Goodacre CJ, Swartz ML, Andres CJ. A comparison of resins for fabricating provisional fixed restorations. *Int J Prosthodont* 1989; 2: 173-184.
 8. Diaz-Arnold AM, Dunne JT, Jones AH. Microhardness of provisional fixed prosthodontic materials. *J Prosthet Dent* 1999; 82: 525-528.
 9. Tempspan. material safety data sheet Clinical P, editor 2009.
 10. Papaspyridakos P, Lal K. Use of Vacuum-Formed Templates to Guide Toot Preparation and Insertion of Interim Restorations. *J Prosthodont* 2010; 19: 303-306.
 11. Heraeus. Memosil2. manufactory information 2010.
 12. Jeroff AA. Fabricating light-cured provisional restorations. *J Am Dent Assoc* 1997; 128: 230-231.
 13. Campbell OJ, Panesar J, Winchester L, Noar J. A modified method of bonding lingual retainers. *J Clin Orthod* 2008; 42: 105-107.
 14. Balkenhol M, Ferger P, Mautner MC, Wostmann B. Provisional crown and fixed partial denture materials: mechanical properties and degree of conversion. *Dent Mater* 2007; 23: 1574-1583.
 15. Moore BK, Platt JA, Borges G, Chu TM, Katsilieri I. Depth of cure of dental resin composites: ISO 4049 depth and microhardness of types of materials and shades. *Oper Dent* 2008; 33: 408-412.
 16. Calheiros FC, Daronch M, Rueggeberg FA, Braga RR. Degree of conversion and mechanical properties of a BisGMA: TEGDMA composite as a function of the applied radiant exposure. *J Biomed Mater Res B Appl Biomater* 2008; 84: 503-509.
 17. Price RB, Felix CA. Effect of delivering light in specific narrow bandwidths from 394 to 515nm on the micro-hardness of resin composites. *Dent Mater* 2009; 25: 899-908.
 18. Kwon TY, Bagheri R, Kim YK, Kim KH, Burrow MF. Cure mechanisms in materials for use in esthetic dentistry. *J Investig Clin Dent* 2012; 3: 3-16.
 19. Stansbury JW. Curing dental resins and composites by photopolymerization. *J Esthet Dent* 2000; 12: 300-308.
 20. Gratton DG, Aquilino SA. Interim restorations. *Dent Clin North Am* 2004; 48: 487-497.
 21. Shin WS, Li XF, Schwartz B, Wunder SL, Baran GR. Determination of the degree of cure of dental resins using Raman and FT-Raman spectroscopy. *Dent Mater* 1993; 9: 317-324.
 22. Taubock TT, Buchalla W, Hildebrand U, Roos M, Krejci I, Attin T. Influence of the

- interaction of light- and self-polymerization on subsurface hardening of a dual-cured core build-up resin composite. *Acta Odontol Scand* 2010; 69: 41-47.
23. Jack LF. Correlation between hardness and degree of conversion during the setting reaction of unfilled dental restorative resins. *Dent Mater* 1985; 1: 11-14.
24. Stansbury JW, Dickens SH. Determination of double bond conversion in dental resins by near infrared spectroscopy. *Dent Mater* 2001; 17: 71-79.
25. Ferracane JL, Mitchem JC, Condon JR, Todd R. Wear and marginal breakdown of composites with various degrees of cure. *J Dent Res* 1997; 76: 1508-1516.
26. Ferracane JL, Greener EH. Fourier transform infrared analysis of degree of polymerization in unfilled resins-methods comparison. *J Dent Res* 1984; 63: 1093-1095.
27. AL FeS, Pereira GD, Dias CT, Sartini Paulillo LA. Effect of the composite photoactivation mode on microtensile bond strength and Knoop microhardness. *Dent Mater* 2006; 22: 203-210.
28. Koupis NS, Vercruyse CW, Martens LC, Verbeeck RM. Knoop hardness depth profile of polyacid-modified composite resins. *Quintessence Int* 2008; 39: 733-743.
29. Price RB, Fahey J, Felix CM. Knoop microhardness mapping used to compare the efficacy of LED, QTH and PAC curing lights. *Oper Dent* 2010; 35: 58-68.
30. Price RB, Felix CA, Andreou P. Third-generation vs a second-generation LED curing light: effect on Knoop microhardness. *Compend Contin Educ Dent* 2006; 27: 490-496.
31. Price RBT, Felix CA, Andreou P. Knoop hardness of ten resin composites irradiated with high-power LED and quartz-tungsten-halogen lights. *Biomat* 2005; 26: 2631-2641.
32. Anusavice KJ, editors. *Phillips' science of dental materials*. 11th ed. St. Louis: Mosby; 2003. p.96-98.
33. Dentistry - polymer-based restorative materials. ISO 4049:2009. [ISO data].
34. Tantbirojn D, Versluis A, Cheng YS, Douglas WH. Fracture toughness and microhardness of a composite: do they correlate? *J Dent* 2003; 31: 89-95.
35. Brandt WC, de Moraes RR, Correr-Sobrinho L, Sinhoreti MA, Consani S. Effect of different photo-activation methods on push out force, hardness and cross-link density of resin composite restorations. *Dent Mater* 2008; 24: 846-850.
36. Uhl A, Mills RW, Jandt KD. Photoinitiator dependent composite depth of cure and Knoop hardness with halogen and LED light curing units. *Biomat* 2003; 24: 1787-1795.
37. Aksornmuang J, Nakajima M, Foxton RM, Tagami J. Mechanical properties and bond strength of dual-cure resin composites to root canal dentin. *Dent Mater* 2007; 23: 226-234.
38. Dixon DL, Fincher M, Breeding LC, Mueninghoff LA. Mechanical properties of a light-polymerizing provisional restorative material with and without reinforcement fibers. *J Prosthet Dent* 1995 ; 73: 510-514.
39. Flury S, Hayoz S, Peutzfeldt A, Husler J, Lussi A. Depth of cure of resin composites: is

- the ISO 4049 method suitable for bulk fill materials? Dent Mater 2012; 28: 521-528.
40. Kournetas N, Tzoutzas I, Eliades G. Monomer conversion in dual-cured core buildup materials. Oper Dent 2011; 36: 92-97.
41. Arrais CA, Kasaz Ade C, Albino LG, Rodrigues JA, Reis AF. Effect of curing mode on the hardness of dual-cured composite resin core build-up materials. Braz Oral Res 2010; 24: 245-249.
42. Arrais CA, Giannini M, Rueggeberg FA. Kinetic analysis of monomer conversion in auto- and dual-polymerizing modes of commercial resin luting cements. J Prosthet Dent 2009; 101: 128-136.
43. Moraes RR, Brandt WC, Naves LZ, Correr-Sobrinho L, Piva E. Light- and time-dependent polymerization of dual-cured resin luting agent beneath ceramic. Acta Odontol Scand 2008; 66: 257-261.
44. Taubock TT, Buchalla W, Hiltebrand U, Roos M, Krejci I, Attin T. Influence of the interaction of light- and self-polymerization on subsurface hardening of a dual-cured core build-up resin composite. Acta Odontol Scand 2011; 69: 41-47.
45. Aravamudhan K, Rakowski D, Fan PL. Variation of depth of cure and intensity with distance using LED curing lights. Dent Mater 2006; 22: 988-994.
46. Price RB, Derand T, Sedarous M, Andreou P, Loney RW. Effect of distance on the power density from two light guides. J Esthet Dent 2000; 12: 320-327.
47. Bouschlicher MR, Rueggeberg FA, Wilson BM. Correlation of bottom-to-top surface microhardness and conversion ratios for a variety of resin composite compositions. Oper Dent 2004; 29: 698-704.
- ติดต่อข้อมูลความ :**
อ.พพ. มีรชัย ลิมป์ลารวัณย์
ภาควิชาทันตกรรมอนุรักษ์และทันตกรรมประดิษฐ์
คณะทันตแพทยศาสตร์ มหาวิทยาลัยศรีนครินทรวิโรฒ
สุขุมวิท 23 เขตวัฒนา กรุงเทพฯ 10110
โทรศัพท์ 02-649-5212
จดหมายอิเล็กทรอนิกส์ ingot_030@hotmail.com
- Correspondence author :**
Dr. Teerachai Limlawan
Department of Conservative Dentistry and
Prosthodontics, Faculty of Dentistry,
Srinakharinwirot University, Sukhumvit 23.
Wattana, Bangkok, 10110 Thailand.
Tel: 02-649-5212
E-mail: ingot_030@hotmail.com